

## Schrödinger ligningen (SL)

= (ikke-relativistisk) bølgeligning for partikler (med masse)

Minner om klassisk bølgeligning, for mek. og E.M. bølger:

$$\frac{\partial^2 \xi}{\partial x^2} = \frac{1}{v_f^2} \frac{\partial^2 \xi}{\partial t^2} \quad (\text{eurt } \nabla^2 \xi = \frac{1}{v_f^2} \frac{\partial^2 \xi}{\partial t^2} \text{ i 3D})$$

Harmoniske ("monokromatiske") Løsninger:

$$\begin{aligned} \xi(x,t) &= \xi_0 \sin(kx - \omega t) \\ &= \xi_0 \Re e^{i(kx - \omega t)} \quad (i = \sqrt{-1}) \end{aligned}$$

"Bølgerelasjoner":

$$k = \frac{2\pi}{\lambda}, \quad \omega = \frac{2\pi}{T}, \quad v = \frac{\omega}{2\pi} = \frac{1}{T},$$

$$v_f = \lambda/T = \lambda v = \omega/k = \text{fasefart}$$

$$v_g = \partial \omega / \partial k = \text{gruppfart}$$

For fri partikkelen, masse m, potensial  $V=0$ :

$$E = K = \frac{1}{2}mv^2 = p^2/2m$$

Prøver harmonisk bølge  $\Psi(x,t) = e^{i(kx - \omega t)}$

I følge de Braglie:  $\lambda = h/p$  og  $v = E/h$

$$\Rightarrow k = 2\pi/\lambda = p/h; \quad \omega = 2\pi v = E/h$$

$$\Rightarrow \Psi(x,t) = e^{i(px - Et)/h}$$

(16)

Finner "passende" diff. ligning ved inspeksjon:

$$i\hbar \frac{\partial \Psi}{\partial t} = E\Psi ; \quad -\frac{\hbar^2}{2m} \frac{\partial^2 \Psi}{\partial x^2} = \frac{p^2}{2m} \Psi ; \quad E = p^2/2m$$

$$\Rightarrow i\hbar \frac{\partial \Psi}{\partial t} = -\frac{\hbar^2}{2m} \frac{\partial^2 \Psi}{\partial x^2} \quad (\text{SL i 1D; } V=0)$$

Fri partikkkel i konstant potensial  $V_0 \neq 0$ :

$$\Psi(x,t) = e^{i(px-Et)/\hbar} \quad (\text{som for } V=0)$$

$$i\hbar \frac{\partial \Psi}{\partial t} = E\Psi = (K+V)\Psi = (p^2/2m + V_0)\Psi$$

$$-\frac{\hbar^2}{2m} \frac{\partial^2 \Psi}{\partial x^2} = \frac{p^2}{2m} \Psi$$

$$\Rightarrow i\hbar \frac{\partial \Psi}{\partial t} = \left( -\frac{\hbar^2}{2m} \frac{\partial^2}{\partial x^2} + V_0 \right) \Psi \quad (\text{SL i 1D; } V_0 = \text{konst})$$

Problem dersom  $V(x) \neq$  konstant:  $\vec{F} = -\nabla V \neq 0$ ,  
og  $\vec{p}$  er ikke konstant.

Men samme diff. lign. viser seg å fungere:

$$i\hbar \frac{\partial \Psi(\vec{r},t)}{\partial t} = \left[ -\frac{\hbar^2}{2m} \nabla^2 + V(\vec{r}) \right] \Psi(\vec{r},t) \quad (\text{SL i 3D})$$

ga faktoren i på venstre side:  $\Psi$  alltid kompleks,  
ogs ikke direkte målbar.

## Tolkning av bølgefunksjonen

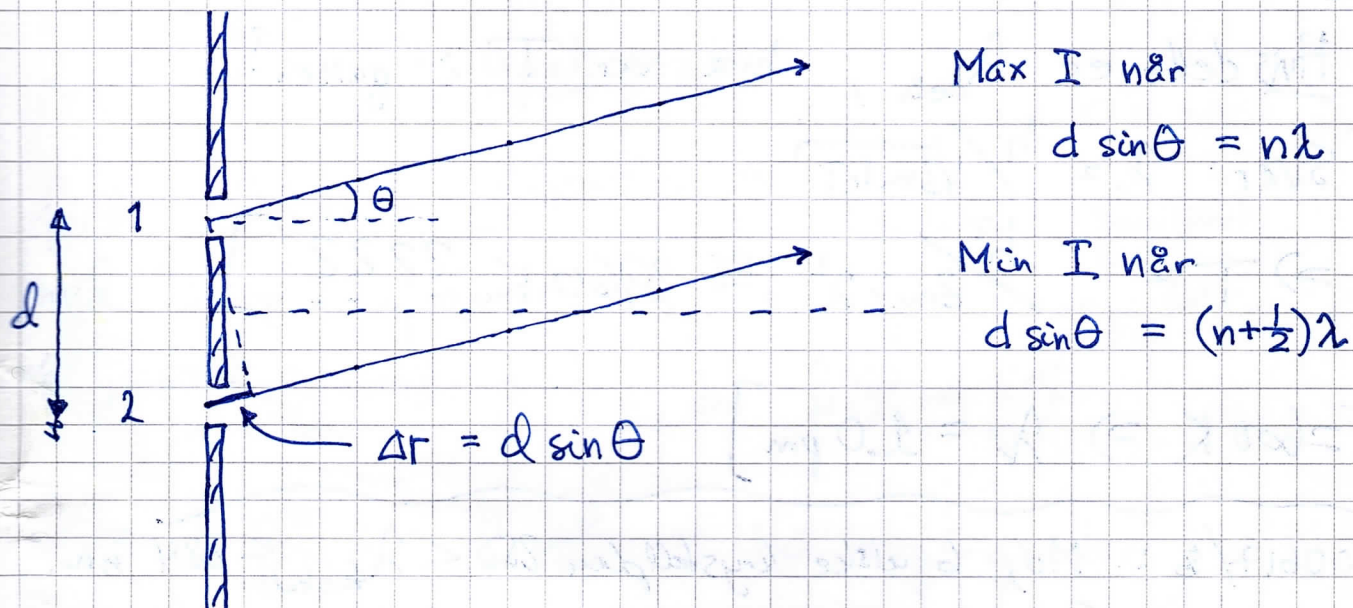
(17)

Send ett og ett foton, eller ett og ett elektron (evt atom, molekyl) inn mot dobbeltspalte (eller diffraksjonsgitter).

⇒ Interferensmonster på detektor/skerm bak spaltene.

$$\text{EM/fotoner: } I \sim |\vec{\mathcal{E}}|^2 = |\vec{\mathcal{E}}_1 + \vec{\mathcal{E}}_2|^2$$

$$\text{Elektroner etc: } I \sim |\Psi|^2 = |\Psi_1 + \Psi_2|^2$$



⇒ Tolket  $|\Psi|^2$  som sannsynligheten for å detektere partikkelen i en gitt retning  $\Theta$ .

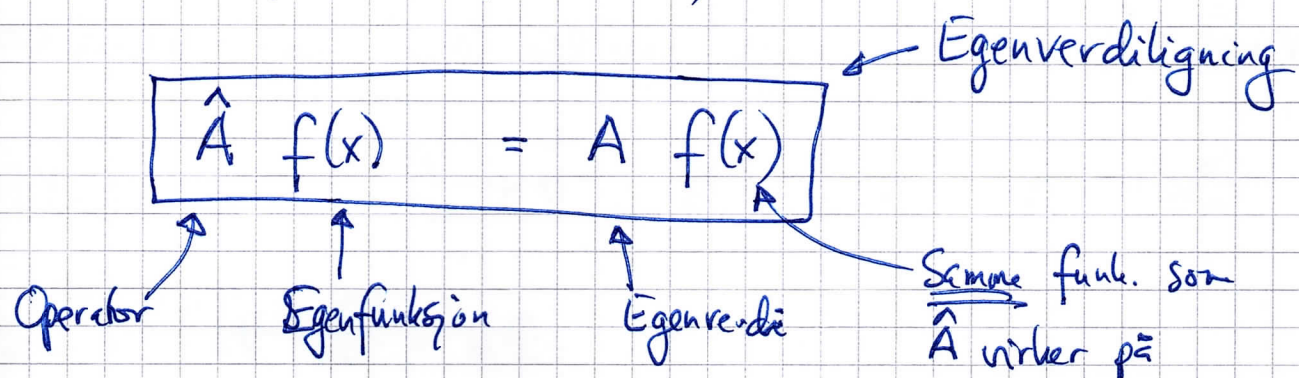
Mer presist:

$dP = |\Psi(\vec{r}, t)|^2 d^3r$  = sanns. for å måle partikkelen posisjon i volum  $d^3r$  omkring  $\vec{r}$  ved tid  $t$

Normering:  $\int_{\text{hele rommet}} |\Psi(\vec{r}, t)|^2 d^3r = 1$

# Operator. Egenfunktjon. Egenverdi

(TMA4115, MA1201, MA1202)



- $\hat{P}_{(x)} = \frac{\hbar}{i} \frac{\partial}{\partial x} = \underline{\text{impulsooperator}}$

fordi  $\Psi(x,t) = e^{i(px-Et)/\hbar}$  beskriver partikkelen med "skarp" impuls  $p$  og er egenfunktjon til  $\hat{p}$ , med egenverdi  $p$ ; da  $\hat{p}\Psi = p\Psi$

- $\hat{K} = \frac{1}{2m} \hat{p}^2 = -\frac{\hbar^2}{2m} \frac{\partial^2}{\partial x^2} = \underline{\text{kin. energi-operator}}$

fordi  $\Psi(x,t)$  beskriver partikkelen med skarp  $K$  og er egenfunkt. til  $K$ , med egenv.  $K = p^2/2m$

- $\hat{H} = \hat{K} + \hat{V} = -\frac{\hbar^2}{2m} \frac{\partial^2}{\partial x^2} + V_0 = \text{Hamilton-operator}$   
 $= \text{op. for total energi } E = K + V_0, \text{ fordi } \Psi$

beskriver part. med skarp  $E$  og er egenfunkt.

til  $\hat{H}$ , med egenv.  $E = K + V = p^2/2m + V_0$

Hvad med  $V(x) \neq \text{konst.}$ ? Da er  $p$  ikke konstant, men  $E = K + V$  er fortsat konstant (konservativt system!)

$\Rightarrow$  Andre typer  $\Psi(x,t)$  vil være egenfunk. til  $\hat{H} = \hat{K} + V(x)$

$$3D: x \rightarrow \vec{r}; \frac{\partial}{\partial x} \rightarrow \nabla; \hat{\vec{p}} = \frac{\hbar}{i} \nabla; \hat{K} = -\frac{\hbar^2 \nabla^2}{2m}$$

$$SL: i\hbar \frac{\partial \Psi}{\partial t} = \hat{H}\Psi$$

~~~~~

### Stasjonære tilstande. TUSL

$\checkmark$  varh. over t ("altid" i TFFY4215!)

$\Psi(x,t) = \psi(x) \cdot T(t)$  settes inn i SL:

$$i\hbar \psi \frac{\partial T}{\partial t} = T \hat{H} \psi \quad / \cdot 1/T$$

$$\Rightarrow i\hbar \underbrace{\frac{\partial T}{T}}_{\text{kun } t} = \underbrace{\frac{\hat{H}\psi}{\psi}}_{\text{kun } x} = \text{konst.} \stackrel{\text{kaller vi...}}{=} E$$

ma  
være ...

$$\Rightarrow \frac{\partial T}{T} = \frac{E}{i\hbar} dt \Rightarrow \boxed{T(t) = e^{-iEt/\hbar}}$$

"...en gang for alle"!

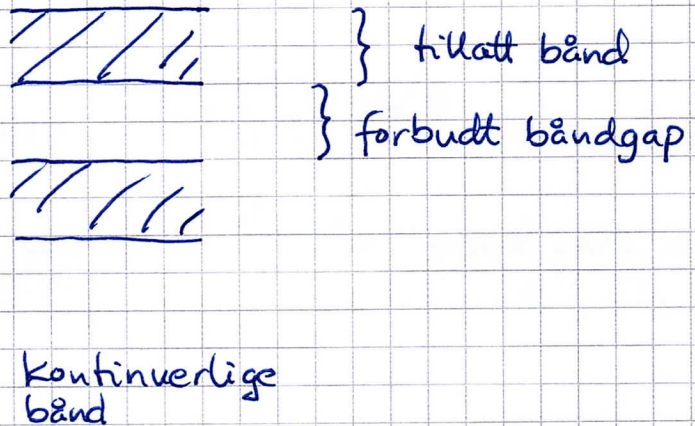
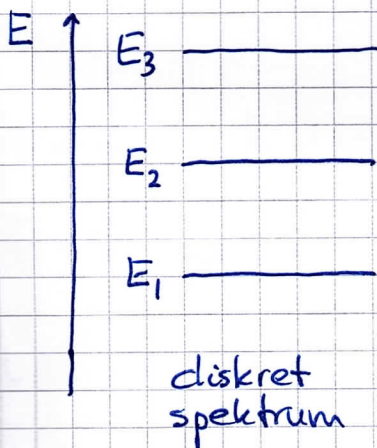
og:  $\boxed{\hat{H}\psi = E\psi}$  TUSL

$$|\Psi|^2 = |\psi(x)|^2 \text{ varh. over t} \Rightarrow \text{"Stasjonær tilstand"}$$

Tolket:  $E = \text{mulige energieniv.}; \psi = \text{mulige energiegenfkt.}$

Bundne tilstander  $\left[ \lim_{|x| \rightarrow \infty} \Psi_n(x) = 0 \right]$  har  
diskrete energier  $E_n$ .

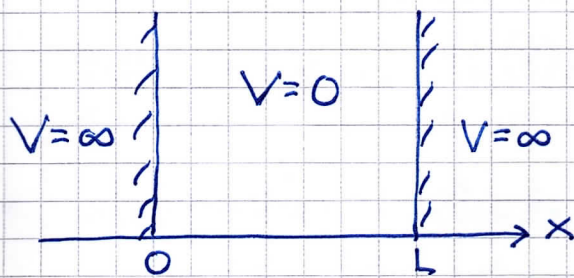
Ubundne tilstander  $\left[ \Psi(\pm\infty) \neq 0 \right]$  tilsvarer  
Kontinuerlige energibånd.



Hvis TUSL har bundne løsninger  $\{\Psi_n\}$  og  
 ubundne løsninger  $\{\Psi_E\}$  er generell løsning av SL:

$$\Psi(x,t) = \sum_n c_n \Psi_n(x) e^{-iE_n t/\hbar} + \int c_E \Psi_E(x) e^{-iEt/\hbar} dE$$

Partikkelen i boks: Finnt eksempel som illustrerer diverse generelle egenskaper og sammenhenger.



$$V(x) = \begin{cases} 0 & ; 0 < x < L \\ \infty & ; \text{ellers} \end{cases}$$

Stasjonære tilstrender :  $\Psi(x,t) = \psi(x) e^{-iEt/\hbar}$  (inni boksen)

$\Psi=0$  der  $V=\infty$  : Null sanns.  $|\psi|^2$  for å finne part. der

Løsn. av TUSL :

$$\psi'' + k^2 \psi = 0 ; \quad k^2 = 2mE/\hbar^2$$

$$\psi(x) = A \sin kx + B \cos kx$$

$$\psi(0) = 0 \quad (\text{krever kontinuerlig } \psi) \Rightarrow B = 0$$

$$\psi(L) = 0 \Rightarrow \sin kL = 0 \Rightarrow k_n \cdot L = n \cdot \pi \quad (n=1,2,3,\dots)$$

$$\Rightarrow E_n = \frac{\hbar^2 k_n^2}{2m} = \frac{n^2 \hbar^2 \pi^2}{2m L^2}$$

Bundne tilstrender  $\{\psi_n\}$  og diskret spektrum  $\{E_n\}$ , som sagt!

[Kontrollspørsmål: Hva er sammenhengen mellom  $p$  og  $k$ ?]

Vi normerer  $\psi_n(x)$  ved å anta at partikkelen har energi  $E_n$ .  
(Kan tenke oss at vi har målt energien, men ikke posisjonen.)

$$\Rightarrow 1 = \int_0^L |\psi_n(x)|^2 dx = A_n^2 \int_0^L \sin^2\left(\frac{n\pi x}{L}\right) dx = A_n^2 \cdot \frac{1}{2} L$$

$$\Rightarrow A_n = \sqrt{\frac{2}{L}} \quad \Rightarrow \quad \psi_n(x) = \sqrt{\frac{2}{L}} \sin \frac{n\pi x}{L}$$

Egenskaper, som gjelder (stort sett) generelt:

- Symmetri: Symmetrisk  $V(x) \Rightarrow$  symm.  $|\Psi_n|^2 \Rightarrow$  symm. eller antisymm.  $\Psi_n(x)$ . [Mhp hvilken x-verdi her?] S:  $\Psi_1, \Psi_3, \dots$ ; AS:  $\Psi_2, \Psi_4, \dots$
- Nullpunkter: Økende antall nullpunkter med økende energi. Grunntilstanden har lavest mulig energi; og ingen nullpunkter. (Nodelinjer i 2D; nodeplan i 3D.)
- Grensebetingelser: Inspeksjon av TUSL,  $\frac{\Psi''}{\Psi} = \frac{2m}{\hbar^2}(V-E)$ , gir  $\Psi(x)$  kontinuerlig overalt  
 $\Psi'(x)$  — —, unntatt der  $V(x)$  gjør et uendelig sprang: der gjør  $\Psi'$  et  $\infty$  sprang  $\Rightarrow \Psi'$  er diskontinuerlig  $\Rightarrow \Psi$  har en "knekkt"
- Krumningsegenskaper:  
 Klassisk tillatt område:  $E \geq V \Rightarrow \frac{\Psi''}{\Psi} \leq 0 \Rightarrow \Psi$  krummer mot x-aksen  
 Klassisk forbudt område:  $E < V \Rightarrow \frac{\Psi''}{\Psi} > 0 \Rightarrow \Psi$  krummer fra x-aksen
- Ortonormert funksjonssett (orthogonale og normerte):  
 $\langle \Psi_n, \Psi_j \rangle = \int_{-\infty}^{\infty} \Psi_n^*(x) \Psi_j(x) dx = \delta_{nj} = \begin{cases} 1 & ; n=j \\ 0 & ; n \neq j \end{cases}$

Gjelder (kjemmelig) generelt for løsninger av TUSL.

- Starttilstand og dens tidsutvikling:

Anta diskret spektrum.

$$\Psi(x, 0) = \sum_n c_n \psi_n(x) = \text{gitt bølgefunk. ved } t=0$$

$$\Rightarrow \Psi(x, t) = \sum_n c_n \psi_n(x) e^{-i E_n t / \hbar}$$

Utnytter at  $\{\psi_n\}$  er ortonormert og finner

$$c_n = \int_{-\infty}^{\infty} \psi_n^*(x) \Psi(x, 0) dx$$

Hvis  $\Psi(x, 0)$  er normert, forblir  $\Psi(x, t)$  normert, og

$$\sum_n |c_n|^2 = 1$$

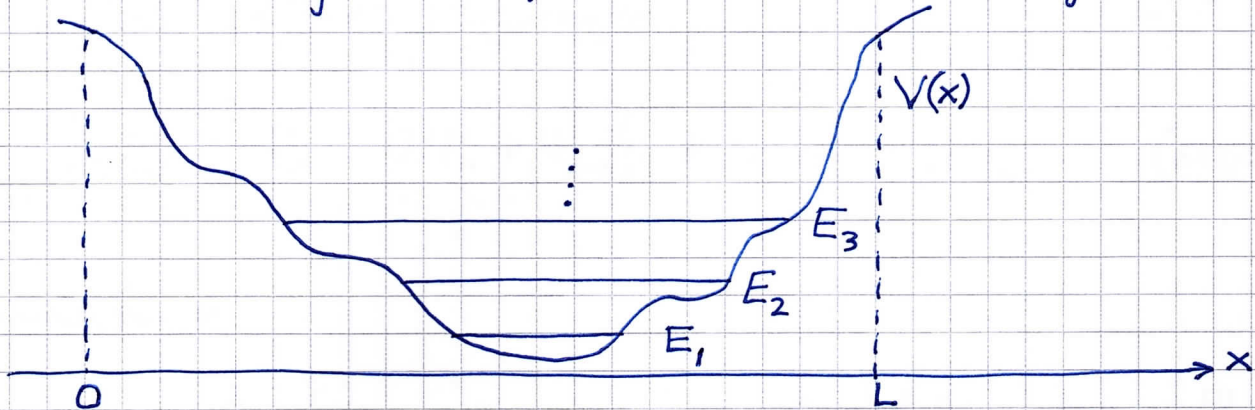
og

$|c_n|^2$  = sanns. for å måle at partikkelen har energi  $E_n$

(Målepostulatet)

## Numerisk løsning av TUSL

Med "vilkårlig"  $V(x)$  er TUSL ikke analytisk løsbar.

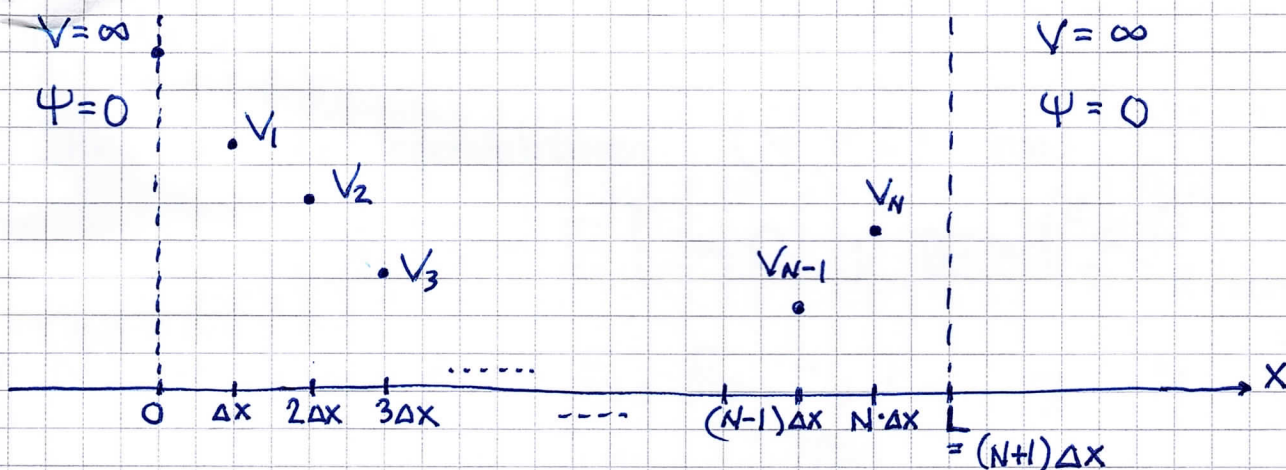


Vi "vet" at vi har bundne tilstander og diskret spektrum  $E_1, E_2, E_3, \dots$  så lenge  $E_j < V(\pm\infty)$ .

For tilstander med  $E_j \ll V(0)$  og  $V(L)$  er  $\Psi(x) \approx 0$  utenfor  $(0, L)$

$\Rightarrow V \approx \infty$  for  $x \leq 0$  og  $x \geq L$

Diskretisering :



$$\Delta x = \frac{L}{N+1} ; \quad x_n = n \Delta x ; \quad V_n = V(x_n) ; \quad \Psi_n = \Psi(x_n)$$

$$\text{Grensebet: } V_0 = V_{N+1} = \infty \Rightarrow \Psi_0 = \Psi_{N+1} = 0$$

(25)

$$\Psi_n^{(1)} \approx \frac{\Psi_{n+1} - 2\Psi_n + \Psi_{n-1}}{(\Delta x)^2}$$

TUSL blir  $\stackrel{N}{\overbrace{\dots}}$  "differanseligninger":

$$-\frac{\hbar^2}{2m(\Delta x)^2} \left\{ \Psi_{n+1} - 2\Psi_n + \Psi_{n-1} \right\} + V_n \Psi_n = E \Psi_n \quad (n=1, 2, \dots, N)$$

Matriseform:

$$\begin{bmatrix} \varepsilon + V_1 & -\frac{\varepsilon}{2} & 0 & 0 & \cdots & 0 \\ -\frac{\varepsilon}{2} & \varepsilon + V_2 & -\frac{\varepsilon}{2} & 0 & & \\ 0 & -\frac{\varepsilon}{2} & \varepsilon + V_3 & -\frac{\varepsilon}{2} & \cdots & \\ \vdots & \ddots & \ddots & \ddots & & \\ \cdots & 0 & -\frac{\varepsilon}{2} & \varepsilon + V_{N-1} & -\frac{\varepsilon}{2} & \\ \cdots & 0 & -\frac{\varepsilon}{2} & \varepsilon + V_N & 0 & \end{bmatrix} \begin{bmatrix} \Psi_1 \\ \Psi_2 \\ \Psi_3 \\ \vdots \\ \vdots \\ \Psi_{N-1} \\ \Psi_N \end{bmatrix} = E \begin{bmatrix} \Psi_1 \\ \Psi_2 \\ \Psi_3 \\ \vdots \\ \vdots \\ \Psi_{N-1} \\ \Psi_N \end{bmatrix}$$

$$\text{der } \varepsilon = \frac{\hbar^2}{m(\Delta x)^2}$$

Dvs:  $\vec{H}\vec{\Psi} = E\vec{\Psi}$  med tridiagonal, reell, symmetrisk Hamiltonmatrise  $H$ .

Ikke-trivuelle egenvektorer ( $\vec{\Psi} \neq 0$ ) hvis

$$\det \{ H - E \} = 0 ; \quad E = \begin{pmatrix} E & & 0 \\ & \ddots & \\ 0 & \cdots & E \end{pmatrix}_{N \times N}$$

$\Rightarrow N$  energienverdier  $E_1, E_2, \dots, E_N$  og  $N$

egenrektoerer  $\vec{\Psi}^{(1)}, \vec{\Psi}^{(2)}, \dots, \vec{\Psi}^{(N)}$

(26)

Se [docs.scipy.org /doc /scipy /reference /linalg.html](https://docs.scipy.org/doc/scipy/reference/linalg.html)  
og eigh\_tridiagonal ("Solve eigenvalue problem for a  
real symmetric tridiagonal matrix").

⇒ egenverdier  $E_1 < E_2 < \dots < E_N$

egenvektorene er <sup>reelle og</sup> normerte og ortogonale ("ortonormalt"):

$$\sum_{n=1}^N \Psi_n^{(j)} \Psi_n^{(k)} = \delta_{jk} ; \quad \Psi_n^{(j)} = \Psi^{(j)}(x_n)$$

$$[\text{cf } -\int_{-\infty}^{\infty} \Psi_j^*(x) \Psi_k(x) dx = \delta_{jk}]$$

og de danner et fullstendig sett:

$$\sum_{j=1}^N \Psi_n^{(j)} \Psi_l^{(j)} = \delta_{nl}$$

$$[\sum_j \Psi_j^*(x') \Psi_j(x) = \delta(x' - x) ; \text{ Diracs } \delta\text{-funksjon,}\\ \text{mer om den senere!}]$$

Starttilstand:

$$\Psi_k(0) = \sum_{j=1}^N c^{(j)} \Psi_k^{(j)} ; \quad k = 1, 2, \dots, N ; \quad c^{(j)} = \sum_{k=1}^N \Psi_k^{(j)} \Psi_k(0)$$

$$[\text{cf } \Psi(x, 0) = \sum_j c_j \Psi_j(x)]$$

Tidsutvikling:

$$\Psi_k(t) = \sum_{j=1}^N c^{(j)} \Psi_k^{(j)} e^{-i E_j t / \hbar}$$

$$[\text{cf } \Psi(x, t) = \sum_j c_j \Psi_j(x) e^{-i E_j t / \hbar}]$$

Forventningsverdier :

$$\langle x \rangle(t) = \sum_{k=1}^N \Psi_k^*(t) x_k \Psi_k(t)$$

$$\langle p \rangle(t) = \sum_{k=1}^N \Psi_k^*(t) \hat{p} \Psi_k(t)$$

$$\hat{p} \Psi_k = \frac{\hbar}{i} \frac{\partial}{\partial x} \Psi_k \approx \frac{\hbar}{i} \underbrace{\frac{\Psi_{k+1} - \Psi_k}{\Delta x}}_{\text{(f.eks)}}$$

### Hartree Atomic Units

Vi setter  $\hbar = e = a_0 = m_e = 1$ .

Siden  $a_0 = 4\pi\epsilon_0 \cdot (\hbar^2/m_e e^2)$ , er også  $4\pi\epsilon_0 = 1$ .

Energi:  $E_h = \hbar^2/m_e a_0^2 = 1$  (= 1 hartree)

(= pot. energi  $|V_1|$  i grunnst. i H-atomet)

Eks: Hva er dybde og bredde i atomære enheter for en potensialbrønn med dybde 5 eV og bredde 40 nm?

Svar:  $E_h = 1$  hartree tilsvarer 27.2 eV slik at

dybden er  $\frac{5}{27.2} \approx \underline{0.184}$  hartree.

$a_0 = 1$  tilsvarer  $0.529 \text{ \AA} = 0.0529 \text{ nm}$  slik at

bredden er  $\frac{40}{0.0529} \approx \underline{756}$

Postulatene : Basis for kvantmekanikken,

slik Newtons lover er for klassisk mekanikk!

- Operatorpostulat :

Målbare størrelser i klassisk mekanikk representeres i QM av lineære operatorer, som "konstrueres" ved at impulskoordinater  $p_j$  erstattes av operatorer

$$\hat{p}_j = \frac{\hbar}{i} \frac{\partial}{\partial q_j}$$

$$q_j = \text{posisjonskoordinat} \quad (\hat{q}_j = q_j)$$

Eks: Finn operatorene for kinetisk energi og dreieimpuls for en partikkell med masse  $m$  som beveger seg i  $yz$ -planet.

$$\text{Lsn: } K = \frac{1}{2m} (p_y^2 + p_z^2) \rightarrow \hat{K} = \frac{1}{2m} (\hat{p}_y^2 + \hat{p}_z^2)$$

$$\text{med } \hat{p}_y = \frac{\hbar}{i} \frac{\partial}{\partial y} \text{ og } \hat{p}_z = \frac{\hbar}{i} \frac{\partial}{\partial z}$$

$$\Rightarrow \hat{K} = -\frac{\hbar^2}{2m} \left( \frac{\partial^2}{\partial y^2} + \frac{\partial^2}{\partial z^2} \right)$$

$$\text{Her har } \vec{L} \text{ kun en } x\text{-komp. } L_x = (\vec{r} \times \vec{p})_x$$

$$\Rightarrow L_x = y p_z - z p_y$$

$$\Rightarrow \hat{L}_x = \frac{\hbar}{i} \left( y \frac{\partial}{\partial z} - z \frac{\partial}{\partial y} \right)$$

- Tilstandspostulat :

$\Psi(\vec{r}, t)$  beskriver partikkelenes tilstand og er bestemt av

$$i\hbar \frac{\partial}{\partial t} \Psi = \hat{H} \Psi$$

$$\text{med } \hat{H} = \hat{K} + V = -\frac{\hbar^2}{2m} \nabla^2 + V$$

- Forventningsverdipostulat :

$\langle F \rangle = \int \Psi^* \hat{F} \Psi d^3 r$  er middelverdien av  $F$  for mange målinger av  $F$  på identisk preparte systemer

Eks: Partikkel i boks, "parent" i en stasjonær tilst.  $\Psi_n(x, t)$ .  
Hva er  $\langle x \rangle$  og  $\langle p \rangle$ ?

$$\text{Løsn: } \langle x \rangle = \int_0^L x |\Psi_n(x, t)|^2 dx = \int_0^L x (\Psi_n(x))^2 dx = \underline{\underline{L/2}}$$

$$\begin{aligned} \langle p \rangle &= \int_0^L \Psi_n^*(x, t) \frac{\hbar}{i} \frac{\partial}{\partial x} \Psi_n(x, t) dx \\ &\sim \int_0^L \underbrace{\sin \frac{n\pi x}{L}}_S \cdot \underbrace{\cos \frac{n\pi x}{L}}_{AS} dx = \underline{\underline{0}} \end{aligned}$$

- Målepostulat :

Måling av  $F$  gir en av egenverdiene  $f_j$ , der

$$\hat{F} \Psi_j = f_j \Psi_j ; \quad \Psi_j \text{ er egenfunk. til } \hat{F}$$

Etter måling av  $F$ , med resultat  $f_j$ , har den partikkelen i tilstanden  $\Psi_j$ ; dvs målingen påvirker systemet.

Eks: Anta starttilstånd

30

$$\Psi(x,0) = \frac{1}{\sqrt{3}} \Psi_1(x) + \frac{1}{\sqrt{6}} \Psi_2(x) + \frac{1}{\sqrt{2}} \Psi_3(x)$$

Hva er sanns. for å måle energi  $E_1$  ved  $t_1 \geq 0$ ?

Hva er  $E_3$  ved  $t_3 > t_1$ ?

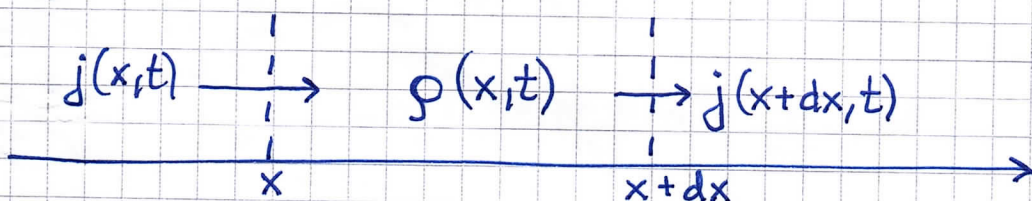
$$\text{Svar: } P(E_1) = \left(\frac{1}{\sqrt{3}}\right)^2 = \frac{1}{3}, \text{ ved fid } t_1.$$

Efter  $t_1$  er  $\Psi(x,t) = \Psi_1(x)e^{-iE_1 t/\hbar}$ , slik at

$$P(E_3) = 0, \text{ ved fid } t_3 > t_1$$

A line graph with a single blue line plotted against a grid background. The line starts at a high point on the left, dips slightly, and then fluctuates around a horizontal baseline as it moves towards the right. It ends at a high point on the far right.

Sannsynlig høststrøm. Beweving av sannsynlighet



g øker hvis  $j(x) > j(x+dx)$ : ( $\varrho = \frac{\partial P}{\partial x} = |\Psi|^2$ )

$$j(x) - j(x+dx) = \frac{\partial}{\partial t} \{ g(x) dx \}$$

$$\Rightarrow \frac{\partial \phi}{\partial t} = - \frac{\partial \phi}{\partial x} \Rightarrow \boxed{\frac{\partial \phi}{\partial t} + \frac{\partial \phi}{\partial x} = 0}$$

Kont. lign. for  
genus. i ID

$$3D: \boxed{\frac{\partial \mathbf{g}}{\partial t} + \nabla \cdot \vec{j}} = 0$$

(31)

Bruk SL og skriv om  $\frac{\partial \Psi}{\partial t}$  til  $\frac{\partial \Psi}{\partial x}$  av "noe"  
 $\Rightarrow$  dette "noe" må være  $-j$ , i følge kont. lign.

$$\frac{\partial \Psi}{\partial t} = \frac{\partial}{\partial t} \{ \Psi^* \Psi \} = \dots \text{ se video H2O...}$$

$$= - \frac{\partial}{\partial x} j$$

med  $j = \operatorname{Re} \left\{ \Psi^* \frac{\hat{p}}{m} \Psi \right\}$

Eks: Hva er  $j$  for

- 1) fri partikkkel?
- 2) partikkkel i stasjonær (bundet) tilstand?

Løsn: 1)  $\Psi = e^{i(px-Et)/\hbar}$

$$\Rightarrow j = \operatorname{Re} \left\{ e^{-i(px-Et)/\hbar} \frac{\hbar}{mi} \cdot \frac{ip}{\hbar} \cdot e^{+i(px-Et)/\hbar} \right\}$$

$$= p/m = \underline{v}$$

Som ventet: Med  $g = \Psi^* \Psi = 1$  overalt blir

$$j = g \cdot v = v$$

2)  $\Psi(x,t) = \psi(x) e^{-iEt/\hbar}$ , med alltid mulighet for å velge real løsning  $\psi(x)$  av TUSL

$$\Rightarrow j = \operatorname{Re} \left\{ i * \text{real størrelse} \right\} = \underline{0}$$

Som ventet for stasjonær tilstand!